

# КИНЕТИКА ОТЖИГА РАДИАЦИОННЫХ ДЕФЕКТОВ В ПАРАТЕЛЛУРИТЕ

Л. Г. Ракитина, Н. П. Баран,  
В. Г. Грачев, Н. И. Дерюгина

Монокристаллы парателлурита ( $\alpha$ -фаза  $\text{TeO}_2$ , группа симметрии  $D_4^3$ ) считаются одними из лучших материалов для акустооптических устройств [1]. Рабочие характеристики последних существенно зависят от собственных (вакансии и междуузельные атомы), примесных (чужеродные атомы и их скопления), радиационных и других дефектов. Основными дефектами, возникающими в парателлурите при облучении высокогенергетическими электронами и гамма-квантами при  $T \geq 300$  К, являются вакансии кислорода, захватившие электроны. Модель одного из них — парамагнитного  $V_O^-$ -центра (в статье мы его обозначим  $V_O^-$ ), представляющего собой вакансию, захватившую электрон, — была установлена с помощью ЭПР [2-4]. Другие центры, обнаруженные после облучения

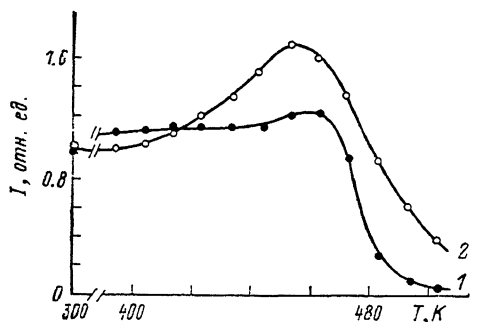


Рис. 1. Зависимость нормированной интенсивности линий  $V_O^-$ -центров от температуры изохронного отжига.

Время отжига (мин): 1 — 2, 2 — 10 (режим а).

чения при низких температурах ( $T < 77$  К), представляют собой комплексы вакансий и междуузельных или примесных ионов [5].

Целью настоящей работы является изучение методом ЭПР процессов накопления и распада  $V_O^-$ -центров при разнообразных отжигах.

Измерения выполнялись на спектрометре «Вариан» Е-12 в 3-см диапазоне длин волн. Использовались образцы, выращенные методом Чохральского из номинально чистой шихты.  $V_O^-$ -центры создавались облучением  $\gamma$ -квантами от источника  $^{60}\text{Co}$  при комнатной температуре. Доза облучения составляла  $(2-8) \cdot 10^7$  рад. Образцы выдерживались определенное время  $\Delta t$  при температуре  $T_{\text{отж}}$ , затем охлаждались до комнатной температуры на воздухе, и после этого проводились измерения при 77 К. Отжиги проводились в двух режимах: а) прогрев и охлаждение образцов в темноте, б) прогрев и охлаждение при постоянном освещении образца светом от лампы накаливания. Так как ширины наблюдаемых линий не изменялись при отжигах, относительная амплитуда сигналов ЭПР ( $I$ ) была пропорциональна концентрации исследуемых центров.

На рис. 1 представлена зависимость нормированной интенсивности сигнала ЭПР от температуры изохронного отжига (режим а). Экспериментальные данные свидетельствуют о наличии процессов образования и распада  $V_O^-$ -центров. В зависимости от времени прогрева кристалла максимальная концентрация центров достигается при разных температурах.

На рис. 2 приведена зависимость нормированной интенсивности линий ЭПР от времени изотермического отжига при различных температурах и подсветках. Отжиги при  $T_{\text{отж}} \leq 320$  К не оказывают заметного влияния на интенсивность сигнала ЭПР. При отжигах с освещением образцов  $V_O^-$ -центры разрушаются эффективнее, причем наблюдается только уменьшение их концентрации (кривые 5, 6).

Нами была обнаружена следующая закономерность: при одинаковых условиях облучения (температура и доза) или отжига (температура и время) концентрация возникающих  $V_O^-$ -центров коррелирует с содержанием

железа в кристалле. После облучения кристаллов, специально легированных железом, наряду с увеличением сигналов ЭПР  $\text{Fe}^{3+}$ , регистрировалось появление  $V_{\text{O}}^-$ -центров в концентрации на 1–2 порядка большей, чем в «чистых» кристаллах.

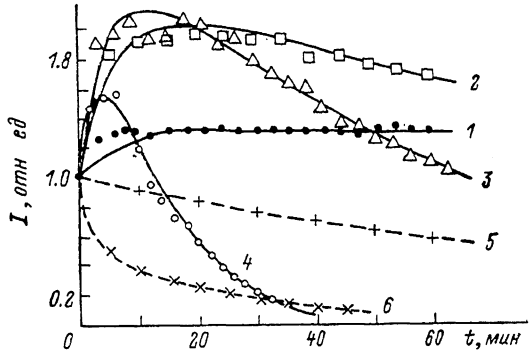
Обнаружено также, что  $V_{\text{O}}^-$ -центры могут образовываться не только при облучении гамма-квантами и электронами, но и при рентгеновском или ультрафиолетовом (от ртутной лампы) облучении. Их появление, но в малых концентрациях, отмечено и при обычном отжиге кристаллов, содержащих примесь железа, при температурах 420–470 К.

При повторном облучении кристаллов после разрушения отжигами  $V_{\text{O}}^-$ -центров картина не отличалась от наблюдавшейся в облученных исходных кристаллах.

Экспериментальные результаты объясняются следующей моделью. Из наших предварительных исследований кристаллов  $\text{TeO}_2$ , легированных железом, следует, что примесь железа замещает  $\text{Te}^{4+}$ , образуя при этом  $\text{Fe}^{2+}$  (концентрации  $N_{2+}^i$ ) и  $\text{Fe}^{3+}$ . При таком замещении компенсато-

Рис. 2. Зависимость нормированной интенсивности линий  $V_{\text{O}}^-$ -центров от времени изотермического отжига при различных температурах.

$T, \text{ K}: 1 - 346, 2 - 414, 3 - 433,$   
 $4 - 453$  (режим а); точки — эксперимент, сплошные линии — теория),  
 $5 - 308, 6 - 360$  (режим б).



ром заряда могут служить ваканции кислорода (концентрации  $N^i$ ). При этом  $N^i \geq N_{2+}^i$ . При облучении вакансии могут захватывать один или два электрона, образуя парамагнитный  $V_{\text{O}}^-$ - и непарамагнитный  $V_{\text{O}}^0$ -центры с концентрациями  $N_-$  и  $N_{2-}$ , так что  $N^i = N + N_- + N_{2-}$ ,  $N$  — концентрация  $V_{\text{O}}$  после облучения. Равное количеству электронов количество дырок захватывается ионами  $\text{Fe}^{2+}$ , превращая их в  $\text{Fe}^{3+}$ . Поэтому  $2N_{2-} + N_- = N_{3+}$ ,  $N_{3+}$  — концентрация образовавшихся центров  $\text{Fe}^{3+}$ . При отжиге быстрее всего распадаются, испуская электрон,  $V_{\text{O}}^0$ -центры, имеющие наименьшую энергию активации. Процесс  $V_{\text{O}}^0 \rightarrow V_{\text{O}}^- + e$  ведет к накоплению  $V_{\text{O}}^-$ -центров. Распад  $V_{\text{O}}^-$ -центров, имеющих большую энергию активации, происходит при более высоких температурах по схеме  $V_{\text{O}}^- \rightarrow V_{\text{O}} + e$ . Испущенные при распаде  $V_{\text{O}}^-$  и  $V_{\text{O}}^0$  электроны захватываются в основном  $\text{Fe}^{3+}$ -центрами, превращающимися в  $\text{Fe}^{2+}$ . Переахват электрона вакансией  $V_{\text{O}} (V_{\text{O}} + V_{\text{O}} \rightarrow V_{\text{O}} + e + V_{\text{O}} \rightarrow V_{\text{O}} + V_{\text{O}})$  не меняет  $N$  и  $N_-$  и может не учитываться в теории. Пренебрегая переахватом электронов  $V_{\text{O}}$ -вакансиями и при распаде  $V_{\text{O}}^-$ -центров, можно записать упрощенные кинетические уравнения, соответствующие предложенной схеме взаимопревращений центров при отжиге,

$$(dN_{2-})/(dt) = -\beta N_{2-}, \quad (1)$$

$$(dN_-)/(dt) \approx -\alpha N_- + \beta N_{2-}, \quad (2)$$

где  $\alpha = \alpha_0 \exp(-E_{2-}/kT)$ ,  $\beta = \beta_0 \exp(-E_{2-}/kT)$ ,  $\alpha$  и  $\beta$  — скорости термического распада,  $E_{2-}$  и  $E_-$  — энергии активации. Их решение имеет вид

$$N_{2-}/N_{2-}^0 = \exp(-\beta t), \quad (3)$$

$$N_-/N_-^0 = \exp(-\alpha t) + (\beta \eta_0)/(\beta - \alpha) [\exp(-\alpha t) - \exp(-\beta t)], \quad (4)$$

где

$$\eta_0 = N_{2-}^0/N_-^0, \quad (5)$$

$N_{2-}^0$  и  $N_-^0$  — концентрации  $V_{\text{O}}^-$  и  $V_{\text{O}}^0$  до отжига. Сравнивая (4) с наблюдаемыми зависимостями  $I(t) \sim N_-$ , мы оценили энергию активации и

предэкспоненциальные множители:  $E_1 \approx 1.4 \pm 0.4$  эВ,  $\alpha_0 \sim 10^{12} - 10^{14}$  с<sup>-1</sup>;  $E_2 \approx 0.03 \pm 0.015$  эВ,  $\beta_0 \sim 10^{-1}$  с<sup>-1</sup>.

С помощью (3), (4) можно получить выражения, определяющие зависимость  $I$  от температуры изохронного отжига. Однако они весьма громоздки и поэтому не столь удобны для обработки эксперимента, как (3) — (5).

Несмотря на простоту предлагаемой модели, теоретические кривые не только качественно, но и достаточно хорошо количественно описывают зависимости  $I$  от времени изотермического отжига (рис. 2). Получают не противоречивое объяснение не только взаимосвязанное возникновение  $V_O^{\circ}$ -центров и  $Fe^{3+}$  при облучении, но и возврат кристалла в исходное состояние после отжига при  $T \approx 450$  К. Отсутствие участка накопления  $V_O^{\circ}$ -центров в опытах с подсветкой вероятно связано с тем, что при этом скорость их распада настолько велика, что количество распавшихся  $V_O^{\circ}$ -центров значительно больше образующихся в результате распада  $V_O^{\circ}$ -центров.

Таким образом, можно заключить, что в процессе облучения исследованных нами кристаллов при комнатной температуре образуются три типа центров: вакансии кислорода, захватившие один или два электрона, и трехвалентное железо. На первом этапе отжига в темноте распад вакансий с двумя электронами ведет к накоплению  $V_O^{\circ}$ -центров. При дальнейшем отжиге  $V_O^{\circ}$ -центры превращаются в  $V_O$ , а железо переходит в двухвалентное состояние.

#### Список литературы

- [1] Балакши В. И., Парыгин В. Н., Чирков Л. Е. Физические основы акустооптики. М.: Радио и связь. 1985. 280 с.
- [2] Баран Н. П., Грачев В. Г., Довченко Л. Г. и др. // ФТТ. 1985. Т. 27. № 2. С. 564—566.
- [3] Watterich A., Bartram R. H., Gilliam O. R. et al. // Phys. Rev. B. 1985. V. 32. N 4. P. 2533—2537.
- [4] Watterich A., Bartram R. H., Gilliam O. R. et al. // J. Phys. Chem. Sol. 1986. V. 47. N 10. P. 987—991.
- [5] Watterich A., Bartram R. H., Gilliam O. R. et al. // Phys. Lett. 1986. V. A 117. N 5. P. 247—250.

Институт полупроводников АН УССР  
Киев

Поступило в Редакцию  
10 мая 1989 г.  
В окончательной редакции  
11 августа 1989 г.

УДК 539.21 : 536.425

© Физика твердого тела, том 32, в 1, 1990.  
Solid State Physics, vol. 32, N 1, 1990.

#### О ФАЗОВОМ ПЕРЕХОДЕ СМЕЩЕНИЯ В КРИСТАЛЛАХ СТРУКТУРЫ $K_2NiF_4$ . СРАВНЕНИЕ $La_2CuO_4$ и $La_2NiO_4$

M. B. Красинькова, B. Я. Мойжес

1. В полной энергии ионного кристалла основным членом является электростатическая энергия Маделунга  $H_M$ <sup>[1]</sup>. Действительно, при равновесии электростатические силы, сжимающие кристалл, уравновешиваются силами отталкивания, возникающими при перекрытии волновых функций электронов с одинаковым спином вследствие принципа Паули, если эти функции неортогональны. Но волновые функции на больших расстояниях спадают по экспоненциальному закону, поэтому и энергия отталкивания  $H_{\text{отт}}$  экспоненциально зависит от расстояния между ионами, т. е.  $H_{\text{отт}} =$